

## **Penumbuhan Nanopartikel Logam dengan Metode Kimia Basah untuk Meningkatkan Prestasi Superkapasitor Elektrokimia**

**Iwantono<sup>1</sup>, E. Taer<sup>1</sup>, A. A. Umar<sup>2</sup>, J. Lukita<sup>1</sup> dan Lustania<sup>1</sup>**

<sup>1</sup>Jurusan Fisika, FMIPA, Universitas Riau, Jl. HR Soebrantas KM 12,5 Simpang Baru 28293 Pekanbaru Riau

<sup>2</sup>Institute of Microengineering and Nanoelectronics, University Kebangsaan Malaysia, 43600 Bangi, Selangor-Malaysia

Iwan\_tono@yahoo.co.uk

### **Abstrak**

Nanopartikel logam (platinum-PtNs dan palladium-PdNs) telah berhasil ditumbuhkan di atas permukaan elektroda karbon dan pengumpul arus stainless steel. Penumbuhan PtNs dan PdNs dilakukan dengan metoda kimia basah. Karakterisasi pada PtNs dan PdNs dilakukan menggunakan FESEM, XRD untuk mengetahui morfologi dan struktur. Sedangkan untuk menguji prestasi sel superkapasitor elektrokimia dilakukan dengan menggunakan Impedan Spektroskopi Elektrokimia. Dari hasil karakterisasi diketahui bahwa PtNs dan PdNs dapat tumbuh merata pada seluruh permukaan elektroda karbon dan stainless steel dengan ukuran yang seragam. Hasil karakterisasi difraksi sinar-X menginformasikan bahwa unsur platinum pada nanopartikel yang telah ditumbuhkan menghasilkan dua puncak difraksi pada sudut  $2\theta = 40.247^\circ$  dan  $46.815^\circ$  dengan orientasi bidang kristal  $hkl$  (111) dan (200). Sedangkan untuk nanopartikel palladium menghasilkan dua puncak pada  $2\theta = 40.225^\circ$  dan  $2\theta = 46.713^\circ$ . Hasil pengukuran impedansi spektroskopi elektrokimia pada sel superkapasitor mendapatkan nilai kapasitansi spesifik sebesar 8.81 F/gr dan 20.2 F/gr untuk elektroda karbon (tanpa dan dengan nanopartikel platinum) dan 10,22 F/gr (dengan nanopartikel palladium) pada konsentrasi larutan elektrolit  $H_2SO_4$  1 M.

**Kata kunci:** Nanopartikel logam, Superkapasitor, Impedan spektroskopi, Elektrokimia.

### **1 Pendahuluan**

Kualitas kontak antara elektroda karbon dan pengumpul arus (current collector) sangat menentukan prestasi (rapat energy, siklus hidup dan impedansi) superkapasitor elektrokimia [1]. Sejauh ini, beberapa upaya terus dilakukan untuk meningkatkan kualitas kontak tersebut, diantaranya: dengan penambahan lapisan karbon [2] dan lapisan emas [3] pada current collector. Penumbuhan nanopartikel logam pada permukaan elektroda karbon dan current collector diharapkan dapat meningkatkan prestasi superkapasitor elektrokimia. Bahan logam yang dapat digunakan dianraranya adalah platinum dan palladium, karena mempunyai sifat katalis yang baik. Platinum dan palladium [4] dapat ditumbuhkan dalam struktur nano. Penambahan nanopartikel logam platinum dan palladium pada bahan karbon telah dapat dilakukan seperti yang telah dilaporkan [5,6].

Nanopartikel logam (platinum dan palladium) ditumbuhkan pada permukaan elektroda karbon dengan metode kimia basah. Elektroda karbon dihasilkan dengan menggunakan metode yang telah kami laporakan sebelumnya [7]. Pengujian terhadap penumbuhan nanopartikel logam dilakukan dengan menggunakan SEM

dan EDX untuk mengetahui mikrostruktur dan jenis serta persentase atom yang dihasilkan. Pengujian XRD juga dilakukan. Sedangkan untuk menentukan nilai kapasitansi spesifik sel superkapasitor menggunakan metode Electrochemical Impedance Spectroscopy (EIS).

### **2 Metodologi**

Metode kimia basah (wet chemical) digunakan untuk menumbuhkan nanopatikel logam (platinum dan palladium). Penumbuhan nanopatikel platinum dilakukan dengan merendam elektroda karbon dan pengumpul arus dalam larutan penumbuhan dengan konsentrasi larutan ascorbit acid 0,2M dan konsentrasi larutan penumbuh platinum ( $K_2PtCl_4$ ) 1M. Proses penumbuhan dilakukan dua kali (multigrowth) dengan waktu penumbuhan 4 jam + 4 jam. Sedangkan Nanopartikel palladium ditumbuhkan dengan 2 tahap: pembenihan dan penumbuhan. Pembenihan dilakukan dengan merendam substrat pada larutan PLL 5% dan selanjutnya sampel direndam dalam larutan pembenihan yang merupakan campuran 0,5 ml  $K_2PdCl_6$  0,01 M, 0,5 ml trisodium sitrat 0,01 M, 20 ml air murni dan 0,5ml  $NaBH_4$  0,1 M. Akhirnya sampel direndam selama 5 jam pada larutan penumbuh yang merupakan campuran 20

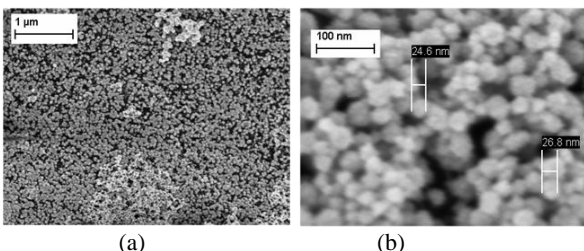
ml CTAB 0,1 M, 0,5 ml K<sub>2</sub>PdCl<sub>6</sub> 0,01 M, larutan 0,5 ml NaOH 0,1 M dan larutan ascorbid acid.

Karakterisasi sampel dilakukan dengan metode SEM-EDX dan XRD, sedangkan uji prestasi sel superkapasitor dilakukan dengan metode EIS. Untuk menentukan struktur elektroda karbon yang terbentuk setelah ditumbuhki nanopartikel logam, perlu dilakukan uji SEM dan XRD. Pengujian ini dilakukan untuk meninjau morfologi permukaan elektroda karbon dan distribusi penumbuhan nanopartikel platinum dan palladium yang dihasilkan. Pengujian SEM dilakukan dengan alat model supra 55 pv, sedangkan pengujian XRD dilakukan menggunakan alat Bruker Advanced X-Ray Solution (AXS) model D8. Uji EDX juga dilakukan untuk mengetahui prosentase platinum dan palladium yang tumbuh.

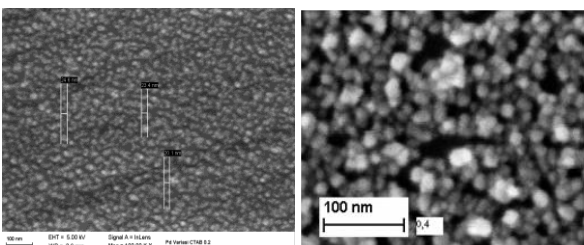
Prestasi kapasitif sampel diinvestigasi dengan metode pengukuran EIS dalam sel superkapasitor yang dibuat menggunakan current collector stainless steel, separator cincin teflon dan elektrolit larutan H<sub>2</sub>SO<sub>4</sub>. Elektroda kerja dibuat dengan ukuran, massa dan tebal masing-masing 80 – 90 mg dan 0.4-0.5 mm. Elektrolit disalurkan dalam sel superkapasitor dengan cara injeksi. Setelah ditunggu selama 30 menit, kemudian pengukuran dilakukan.

### 3 Hasil dan Pembahasan

Hasil penumbuhan nanopartikel platinum pada permukaan elektroda karbon yang disiapkan dengan konsentrasi ascorbid acid 0,2 M dan konsentrasi K<sub>2</sub>PtCl<sub>4</sub> 1 M dan waktu penumbuhan optimum 4 jam + 4 jam ditampilkan pada Gambar 1. Sedangkan nanopartikel palladium pada elektroda karbon dengan konsentrasi ascorbid acid 0,4 M; CTAB 0,1 M dan K<sub>2</sub>PdCl<sub>6</sub> 0,01 M diperlihatkan pada Gambar 2 bawah ini.



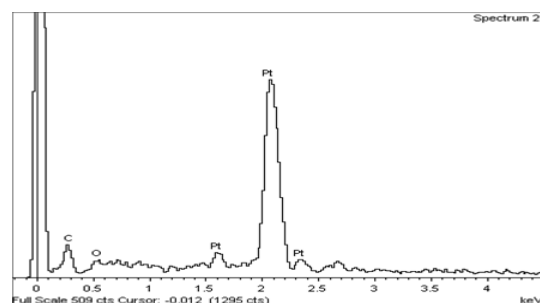
**Gambar 1.** Nanopartikel platinum pada elektroda karbon (a) perbesaran 10.000 kali dan (b) 100.000 kali



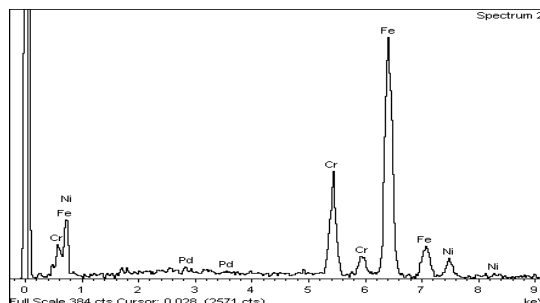
**Gambar 2.** Nanopartikel palladium pada elektroda karbon (a) perbesaran 10.000 kali dan (b) 100.000 kali

Gambar 1 dan 2 memperlihatkan bahwa nanopartikel platinum dan palladium yang tumbuh berbentuk bulat dan bergumpal-gumpal. Nanopartikel tersebut tumbuh merata ke seluruh bagian permukaan dengan ukuran partikel yang sama dan merata (uniform). Ukuran rata-rata nanopartikel platinum dan palladium yang tumbuh adalah berturut-turut sekitar 24,6-26,8 nm (untuk platinum) dan 16,7-24,6 nm (untuk palladium). Ini menunjukkan densitas partikel yang besar.

Selanjutnya hasil uji EDX untuk nanopartikel platinum dan palladium diperlihatkan pada Gambar 3 dan Gambar 4, berturut-turut.



**Gambar 3.** EDX nanopartikel platinum pada karbon



**Gambar 4.** EDX nanopartikel palladium pada current collector stainless steel

Prosentase setiap elemen yang terdapat pada sampel dari hasil uji EDX diperlihatkan pada Tabel 1 (platinum) dan Tabel 2 (untuk palladium).

**Tabel 1.** Prosentase elemen pada sampel platinum

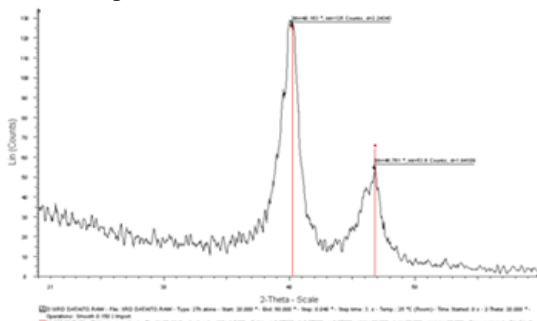
Elemen	Weight%	Atoms%
C	15.78	66.39
O	4.07	12.85
Pt	80.15	20.76
Total	100	100

**Tabel 2.** Prosentase elemen pada sampel palladium

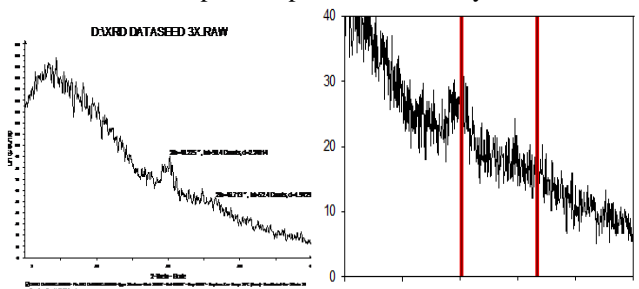
Elemen	Weight%	Atoms%
Cr	18.12	19.37
Fe	72.66	72.33
Ni	8.22	7.78
Pd	1.00	0.52
Total	100	

Dari Gambar 3 dan 4 serta Tabel 1 dan 2 terlihat bahwa berdasarkan spektrum EDX diketahui bahwa nanopartikel platinum dan palladium memang tumbuh di permukaan karbon dan current collector stainless steel. Persentase berat nanopartikel platinum yang tumbuh sebesar 80,15% (platinum) dan 1,00% (palladium) sedangkan persentase berat atomnya 20,76% (platinum) dan 0,52% (palladium).

Hasil uji X-Ray Diffraction diperlihatkan pada Gambar 5 (platinum) dan Gambar 6 (palladium), yang memperlihatkan dengan jelas penambahan puncak pada elektroda karbon dengan penambahan nanopartikel platinum pada sudut  $2\theta = 40.163^\circ$  dan  $2\theta = 46.761^\circ$  (Gambar 5) dan penambahan nanopartikel palladium pada sudut  $2\theta = 40.225^\circ$  dan  $2\theta = 46.713^\circ$  (Gambar 6). Penambahan puncak ini diduga akibat kehadiran atom platinum dan palladium.

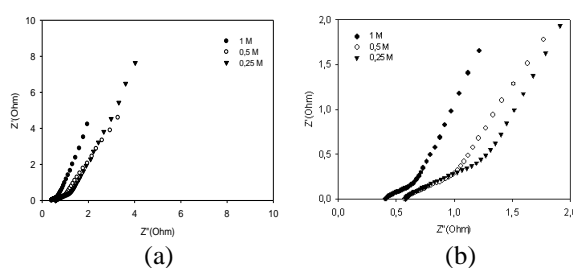


**Gambar 5.** Difraktogram XRD dari sampel yang telah ditumbuhkan nanopartikel platinum di atasnya.

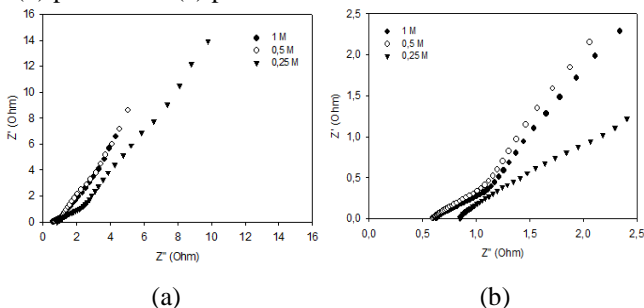


**Gambar 6.** Difraktogram XRD dari sampel yang mengandung nanopartikel palladium

Pengujian sel superkapasitor elektrokimia dengan menggunakan peralatan Electrochemical Interface Solatron 1280. Nyquist plot hasil pengukuran tersebut untuk sel superkapasitor dengan elektroda karbon yang telah ditumbuhki nanopartikel platinum ditunjukkan pada Gambar 7, sedangkan untuk palladium ditunjukkan pada Gambar 8. Nyquist plot terdiri dari tiga bagian, yaitu bahagian setengah lingkaran yang menunjukkan struktur yang berpori elektroda. Garis lurus yang membentuk sudut  $45^\circ$  menunjukkan terjadinya diffusi di dalam karbon pellet, sedang garis tegak lurus pada frekuensi rendah menunjukkan sifat kapasitif dari elektroda.



**Gambar 7.** Nyquist plot sel superkapasitor dengan nanopartikel platinum pada frekuensi (a) 10.000 - 0,1Hz (b) perbesaran (a) pada frekuensi 10.000 - 3.000 Hz



**Gambar 8.** Nyquist plot sel superkapasitor elektroda karbon dengan nanopartikel palladium pada frekuensi (a). 10.000-0,1 Hz dan (b). 10.000 – 3.000 Hz

Dari Nyquist plot di atas, maka kemudian dapat ditentukan nilai kapasitansi spesifik dari sel superkapasitor elektrokimia tersebut yang menggunakan elektroda pelet karbon yang telah ditumbuhi nanopartikel platinum dan palladium. Tabel 3 memperlihatkan nilai kapasitansi spesifik sel superkapasitor hasil perhitungan berdasarkan Nyquist plot (Gambar 7 dan 8).

**Tabel 3.** Parameter sel superkapasitor elektroda karbon dengan dan tanpa nanopartikel platinum

Sel	$R_s$ (Ohm)	R (Ohm)	$Z''$ (Ohm)	m (g)	Csp (F/g)
C 1M	0,69	0,22	62,03	0,0582	8,82
C+Pt 1M	0,4	0,15	27,99	0,0564	20,20
C+Pt 0,5M	0,56	0,22	23,99	0,0613	21,66
C+Pt 0,25M	0,58	0,27	50,68	0,0659	9,54
C+Pd 1M	0,62	0,26	42,96	0,0726	10,22
C+Pd 0,5M	0,58	0,38	55,15	0,0710	8,14
C+Pd 0,25M	0,84	0,58	81,94	0,0741	5,24

**Keterangan:** C: Karbon; M: Molaritas; Pt: Nanopartikel Platinum; Rs: Tahanan elektrolit; R: Tahanan sel superkapasitor; Z': Impedan imajiner; m: Massa satu elektroda; Csp: Kapasitansi spesifik

Dari Tabel 3 tersebut dapat dilihat bahwa terjadi peningkatan nilai kapasitansi spesifik dari sel superkapasitor setelah dilakukan penumbuhan nanopartikel platinum dan palladium pada elektroda

karbon. Kapasitansi spesifik sel superkapasitor elektrokimia dengan menggunakan elektrolit  $H_2SO_4$  1M sebelum ditumbuhkan nanopartikel logam adalah sebesar 8,82 F/g. Nilai kapasitansi spesifik ( $C_{sp}$ ) ini naik secara signifikan menjadi 20,20 F/g naik sekitar 230%, (platinum) dan 10,22 F/g (palladium) atau sekitar 160% setelah nanopartikel platinum dan palladium ditumbuhkan di atas elektroda pelet karbon. Nilai  $C_{sp}$  tertinggi sebesar 21,66 F/g (platinum) dicapai ketika menggunakan konsentrasi larutan elektrolit sebesar 0,5M. Sedangkan pada sanpel elektroda karbon dengan nanopartikel palladium, nilai tertinggi kapasitansi spesifiknya terjadi pada konsentrasi elektrolit sebesar 1M.

#### **4 Kesimpulan**

Penumbuhan nanopartikel platinum dan palladium di atas elektroda karbon dan current collector telah berhasil dilakukan dan mempunyai pengaruh yang signifikan dalam peningkatan nilai kapasitansi superkapasitor elektrokimia. Secara lebih rinci dapat disimpulkan sebagai berikut:

- a. Bentuk nanopartikel platinum dan palladium yang dihasilkan dengan metoda kimia basah berupa bulat dan tumbuh merata pada elektroda karbon.
- b. Ukuran nanopartikel platinum bervariasi dari 24.6 nm sampai 26.83 nm untuk konsentrasi ascorbit acid 0.2 M 1 mL dan  $K_2PtCl_4$  0.01 M 1 mL. Sedangkan ukuran nanopartikel palladium berkisar 16.7-24.6 nm pada konsentrasi ascorbit acid 0.3 M 0.1 mL dan konsentrasi CTAB 0.1 M 20 mL
- c. Pengukuran nilai kapasitan spesifik, dengan metode impedan spektroskopi menginformasikan bahwa penambahan nanopartikel platinum meningkatkan nilai kapasitansi spesifik, yaitu dari 8,82 F/g (tanpa nanopartikel) menjadi 20,20 F/g (dengan nanopartikel platinum), atau naik sebesar 230% dan 10,22 F/g (dengan nanopartikel palladium), atau naik sekitar 160%.

#### **Daftar Pustaka**

- [1] Feng-Chin Wu, Ru-Ling Tseng, Chi-chang Hu, et al. Physical and electrochemical characterization of activated carbon prepared from firwoods for supercapacitors. Journal of power sources. 2004, 138: 351-359
- [2] P. L. Taberna, C. Portet, P. Simon, Electrode surface treatment and electrochemical impedance spectroscopy study on carbon/carbon supercapacitors, Applied Physics A, 2006; 82, 639-646.
- [3] Chi-Chang Hu, Wei-Chun Chen, Effects of Substrates on the Capacitive Performance of  $RuO_x \cdot nH_2O$  and Activated Carbon- $RuO_x$  Electrodes for Supercapacitors, *Electrochimica Acta*, 2004; **49**, 3469-3477
- [4] M. Deraman, R.Omar, S. Zakaria, et al. Electrical and mechanic properties of carbon pellets from acid ( $HNO_3$ ) treated self-adhesive carbon grain from oil palm empty fruit bunch. *Journal of material science*. 2002; 37:3329-3335.
- [5] Hirotaka Koga , Yuuka Umemura, Hirotake Ishihara, Takuya Kitaoka, Akihiko Tomoda, Ryo Suzuki , Hiroyuki Wariishi, Paper-structured fiber composites impregnated with platinum nanoparticles synthesized on a carbon fiber matrix for catalytic reduction of nitrogen oxides *Applied Catalysis B: Environmental*, 2009; **90**, 699–704
- [6] Longli Bo, Xie Quan, Xiaochang Wang, Shuo Chen, Preparation and characteristics of carbon-supported platinum catalyst and its application in the removal of phenolic pollutants in aqueous solution by microwave-assisted catalytic oxidation, *journal of Hazardous Materials*, 2008; **157** , 179–186
- [7] Gang Chang , Munetaka Oyama , Kazuyuki Hirao, Platinum nano-cluster thin film formed on glassy carbon and the application for methanol oxidation, *Thin Solid Films* ,2007; **515**, 3311–3314
- [8] R. Kotz, M. Carlen. Principles and applications of electrochemical capacitors. *Electrochimica Acta*, 2000, 45: 2483-2498.
- [9] Andre Burke. Ultracapacitor: why, how, and where is technology. *Journal of power sources*, 2000, 91: 37-50.
- [10] Oyama, M, Wet Chemical Preparation and Electrochemical Application of Metal Nanoparticle-Attached Indium Tin Oxide Electrodes, *Review of Polarography*. 2007, 53.
- [11] Taer E, Deraman M, Talib I A, Umar A A, Oyama M, Yunus R M. Physical and electrochemical properties of activated carbon pellets from pre-carbonized rubber wood sawdust by  $CO_2$  activation, *Current. Applied Physics*, 2010; **10**, 1071-1075.
- [12] Rudge A, Davey J, Raistrick I, Gotessfeld S, Ferrais JP. Conducting polymers as active materials in electrochemical capacitor, *J power sources*, 1994; 47: 89-107.
- [13] Yudong Zhu, Haoquan, Wencui Li, Xiaoyong Zhang, Resorcinol-formaldehyde based porous carbon as an electrode material for supercapacitor, *Carbon* 2007; **45**, 160-165.